

広島工業大学 正員 中山 隆弘
大阪大学工学部 正員 小松 是夫

1. 考え方 不規則振動問題における強度超過率* および初通過確率(first-passage probability)は、地震、風、波などに対する構造物の動的信頼性を示す一つの指標である。これらの値を決定する最も主要な因子は、もちろん静的信頼性理論において中央安全率と呼ばれている因子に相当する、強度の平均値と応力のT.M.S. 値との比であるが、筆者等は昨年度の年次講演会において、この点と、強度のはらつきの大きさを示す変動係数 α が共に大きさをとるよう条件下では、この α が強度超過率および初通過確率を決定する重要な因子になることを、定常正規不規則振動体に対する計算結果に基づき、定量的に指摘した。¹⁾ さらにその詳細を文献2)において報告した。今回は同様の視点から、非定常正規不規則振動体の強度超過率等と強度のはらつきとの関係を検討した結果について述べ、さらに載荷試験等のいわゆる *proof load test* による“信頼性向上効果”^{2), 3), 4)} に関する若干の考察を付け加える。

2. 基礎式 非定常不規則外力を受けた構造物のある主要な点に生ずるある種の応力の変動過程 $X(t)$ およびその導関数 $\dot{X}(t)$ は共に確率過程である。 $X(t)$ 、 $\dot{X}(t)$ の分散および両者の相関係数をそれぞれ $O_x^2(t)$ 、 $O_{\dot{x}}^2(t)$ 、 $P_{x\dot{x}}(t)$ とし、さらに応力に対応する材料強度を S とすれば、 $X(t)$ の S に対する強度超過率が以下のように説明される。なお文中の大文字は荷重が確率過程であることを示す。いま $X(t)$ が正規過程であるとすれば、若干の計算によつて、単位時間 dt に $X(t)$ があるレベル a を超過する確率が次式のように導かれ。

$$P_x[X(t+dt) \geq a \cap X(t) < a] = \frac{dt}{2\pi} \frac{O_x(t)}{O_{\dot{x}}(t)} \exp\left[-\frac{a^2}{2O_{\dot{x}}^2(t)}\right] \left[\sqrt{1-P_{x\dot{x}}^2(t)} \exp\left\{-\frac{P_{x\dot{x}}^2(t) a^2}{2O_{\dot{x}}^2(t)(1-P_{x\dot{x}}^2(t))}\right\} + \frac{\sqrt{2} P_{x\dot{x}}(t) a}{O_{\dot{x}}(t)} \operatorname{Erf}\left\{-\frac{P_{x\dot{x}}(t) a}{\sqrt{2} O_{\dot{x}}(t)/\sqrt{1-P_{x\dot{x}}^2(t)}}\right\} \right] \quad (1)$$

式中 $\operatorname{Erf}(z) = \int_z^\infty e^{-t^2} dt$ である。 S と $X(t)$ が互いに独立な確率過程であるとすれば、式(1)を用いて、直ちに $X(t)$ が正の符号をもつ強度を下側から超過する強度超過率 $NSK_x^+(t)$ の算定式として次式が得られる。

$$NSK_x^+(t) = \frac{1}{2\pi} \frac{O_x(t)}{O_{\dot{x}}(t)} \int_0^\infty f_0(s) \exp\left\{-\frac{s^2}{2O_{\dot{x}}^2(t)}\right\} \left[\sqrt{1-P_{x\dot{x}}^2(t)} \exp\left\{-\frac{P_{x\dot{x}}^2(t) s^2}{2O_{\dot{x}}^2(t)(1-P_{x\dot{x}}^2(t))}\right\} + \frac{\sqrt{2} P_{x\dot{x}}(t) s}{O_{\dot{x}}(t)} \operatorname{Erf}\left\{-\frac{P_{x\dot{x}}(t) s}{\sqrt{2} O_{\dot{x}}(t)/\sqrt{1-P_{x\dot{x}}^2(t)}}\right\} \right] ds \quad (2)$$

式中 $f_0(s)$ は強度の確率密度関数である。次に初通過確率 $P_x(t)$ については、強度の大きさが正負共に等しいものとし、かつ応力が強度を超過する現象が互いに独立であるとすれば (いわゆる Poisson 近似)、

$$P_x(t) = 1 - \exp\left\{-2 \int_0^t NSK_x^+(s) ds\right\}. \quad (2)$$

ただ式(2)は、設計上、安全側の値を与えるにせよ、応力と強度が接近しているとき (すなわち a が小さいとき) には、精度が非常に落ちることは周知の通りである。この欠陥を補う方法が、応力の包絡線 $A(t)$ の強度超過率による初通過確率の算定法であるが、この方法による結果については講演当日申し述べたい。

さて強度の平均値、標準偏差をそれぞれ S_x 、 O_x とするととき、強度の下限および上限がそれぞれ $S_L = \bar{S} - K_{Lx} O_x$ 、 $S_U = \bar{S} + K_{Ux} O_x$ (K_{Lx} 、 K_{Ux} は定数) と保証される場合を想定し、このときの強度超過率の算定式を式(1)より導けば以下のようになる。ただし式(3)、(4)はそれぞれ $f_0(s)$ が条件付正規分布および条件付対数正規分布により表わされる場合の算定式である。また $\bar{a}(t) = \bar{S}/O_x(t)$ 、 $\delta_S = O_x/\bar{S}$ である。

*「前回の報告」における「期待強度率」と同一であるが、本研究の対象が構造物の動的信頼性であることをより明確にするため、本報告では「強度超過率」と呼ぶ。

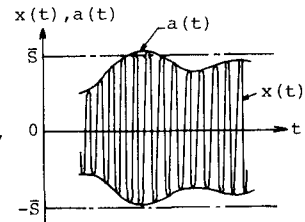


図1 応答及び包絡線が強度を超過する現象の概略図

$$ns^+_{\bar{m}, cn}(t) = \frac{\Omega(t)}{2\pi\Omega(t)\{Erf(-Ke/\sqrt{2}) - Erf(Ku/\sqrt{2})\}} \left[\frac{1 - P_{xz}^2(t)}{\sqrt{(1 - P_{xz}^2(t)) + \bar{m}^2(t)}} \exp\left\{-\frac{\bar{m}^2(t)}{2((1 - P_{xz}^2(t)) + \bar{m}^2(t))}\right\} \left[Erf\left(\frac{Ke}{\sqrt{2}}\right) - Erf\left(\frac{Ku}{\sqrt{2}}\right) \right] \right. \\ \left. + \frac{P_{xz}(t)}{\bar{m}(t)ds} \frac{(1 + \delta_s Ke)\bar{m}(t)}{(1 - \delta_s Ku)\bar{m}(t)} \bar{m}(t) ds \exp\left\{-\frac{(1 + \bar{m}^2(t))\bar{s}^2 - 2\bar{m}(t)\bar{s} + \bar{m}^2(t)}{2\bar{m}^2(t)ds^2}\right\} Erf\left[-\frac{P_{xz}(t)}{\sqrt{2(1 - P_{xz}^2(t))}} \bar{s}\right] ds \right] \quad (3)$$

式中

$$\alpha_x = \frac{\bar{m}^2(t)ds - \{(1 - P_{xz}^2(t)) + \bar{m}^2(t)\}Ku}{\sqrt{(1 - P_{xz}^2(t))\{(1 - P_{xz}^2(t)) + \bar{m}^2(t)\}ds^2}}$$

$$\alpha_u = \frac{\bar{m}^2(t)ds + \{(1 - P_{xz}^2(t)) + \bar{m}^2(t)\}Ku}{\sqrt{(1 - P_{xz}^2(t))\{(1 - P_{xz}^2(t)) + \bar{m}^2(t)\}ds^2}}$$

$$ns^+_{\bar{m}, cn}(t) = \frac{\Omega(t)/\sqrt{1 - P_{xz}^2(t)}}{2\sqrt{\pi}\ln(1 + ds^2)\Omega(t)} \frac{1}{\{Erf(Be/\sqrt{2}) - Erf(Bu/\sqrt{2})\}} \left[\frac{(1 + \delta_s Ke)\bar{m}(t)}{(1 - \delta_s Ku)\bar{m}(t)} \bar{s} \exp\left\{-\frac{1}{2}\left[\frac{\bar{s}^2}{1 - P_{xz}^2(t)} + \frac{(\ln(\sqrt{1 - ds^2}\bar{s}) - \ln\bar{m}(t))^2}{\ln(1 + ds^2)}\right]\right\} \right. \\ \left. + \frac{\sqrt{2}P_{xz}(t)}{\sqrt{1 - P_{xz}^2(t)}} \frac{(1 + \delta_s Ke)\bar{m}(t)}{(1 - \delta_s Ku)\bar{m}(t)} \exp\left\{-\frac{1}{2}\left[\bar{s}^2 + \frac{(\ln(\sqrt{1 - ds^2}\bar{s}) - \ln\bar{m}(t))^2}{\ln(1 + ds^2)}\right]\right\} Erf\left[-\frac{P_{xz}(t)}{\sqrt{2(1 - P_{xz}^2(t))}} \bar{s}\right] \right] ds \quad (4)$$

式中

$$\beta_x = \frac{\ln\{(1 - Keds)\sqrt{1 + ds^2}\}}{\sqrt{\ln(1 + ds^2)}}$$

$$\beta_u = \frac{\ln\{(1 + Kuds)\sqrt{1 + ds^2}\}}{\sqrt{\ln(1 + ds^2)}}$$

3. 数値計算結果と考察 $\Omega(t)/\Omega_c(t)$ の値を 2π に固定し、 $P_{xz}(t)$ 、 $\bar{m}(t)$ 、 ds の値を種々変えて、式(3)、(4)により算出した強度超過率の計算結果の一部を図2～図6に示す。図2は式(3)に含まれる定積分Iの上、下限をそれぞれ ∞ 、 $-\infty$ として場合のGaussの公式による積分値の収束性を示したものであるが、 ds が0.05の場合には0.10の場合に比べ、かなり収束性が悪いことがわかる。図3は強度が無条件正規分布するものとしたときの強度超過率と $\bar{m}(t)$ との関係を示す。 $\bar{m}(t)$ が大きくなるのに伴い、強度を確定量とした結果との差異が著しくなることは明瞭であり、 δ_s が強度超過率の値を左右する重要な因子であることを実証している。図4、図5はそれぞれ強度の確率分布型および $P_{xz}(t)$ の影響を示したものである。さて前述のように *proof load test* を行えば、その後の構造物の信頼度は、それ以前に(例えば設計の時点)で推定した信頼度よりも当然向上することのが期待される。図6はこの信頼性向上効果を示すもので、強度の下限に $Ke=2.0$ なる条件が与えられた場合を想定したときの結果である。図より、設計時の信頼度の設定が高く、強度のばらつきが大きいときほど、向上効果が著しいことがわかる。

4. まとめ 非定常過程の破壊確率及び色経験過程の強度超過率、破壊確率率の計算結果については講義当日報告する予定である。

〈参考文献〉

- 1) 小松・中山：不規則振動問題における *first-passage probability*について、昭50年度年譲
- 2) 小松・中山：材料強度のばらつきを考慮して……、土木学会論文報告集、No.250、1976.6.
- 3) 小池・龜田：荷重履歴による強度劣化を伴う……、土木学会論文報告集 No.228、1974.8.
- 4) Konishi, Kitagawa, Kataeuzi: Reliability approach in structural eng. pp.91~110, Maruzen, 1975
- 5) Yang: First-excitation probability ……, Jour. of Sound & Vibration, Vol.27, No.2, 1973

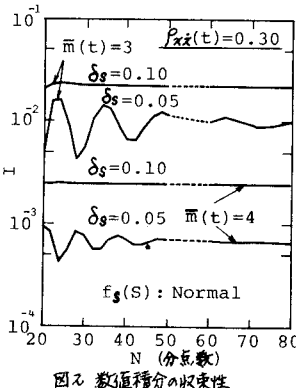


図2 積分値の収束性

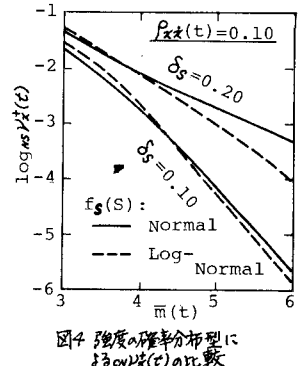


図4 強度の確率分布型によるNS^+_{m, cn}(t)の比較

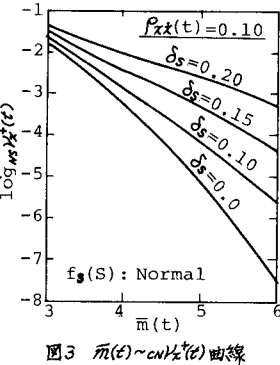


図3 $\bar{m}(t) \sim cn$ の $\Omega(t)$ 曲線

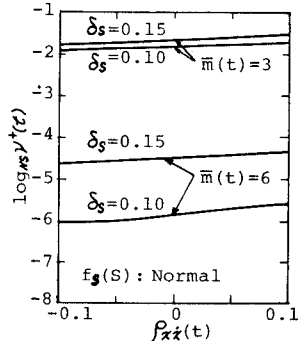


図5 $P_{xz}(t)$ による cn の $\Omega(t)$ の変動性状

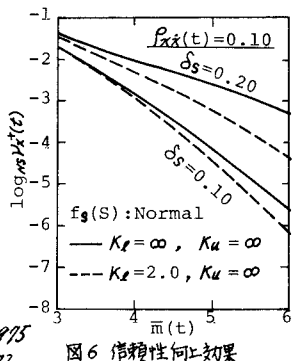


図6 信頼性向上効果